

# МАТЕМАТИЧЕСКАЯ МОДЕЛЬ ДЛЯ ОПРЕДЕЛЕНИЯ СКОРОСТИ РАСШИРЕНИЯ ЦИЛИНДРИЧЕСКОЙ ПОЛОСТИ И ДАВЛЕНИЯ В НЕЙ ПО ЗАДАННОМУ РАДИУСУ

Г.А. Барбашова

*Институт импульсных процессов и технологий НАН Украины,  
пр. Октябрьский, 43-А, г. Николаев, 54018, Украина, [dpte@iipr.com.ua](mailto:dpte@iipr.com.ua)*

Предлагается математическая модель для определения скорости расширения цилиндрической полости и давления в ней по заданной зависимости радиуса цилиндра от времени. Выполнено тестирование математической модели, алгоритма и компьютерной программы.

УДК 532:537.528

## ВВЕДЕНИЕ

В ряде разрядноимпульсных технологий (таких как штамповка, развальцовка труб, интенсификация добычи нефти) основным силовым воздействием на обрабатываемый объект является формируемая образующимся при электрическом взрыве в жидкости плазменным каналом волна сжатия и следующий за ней гидропоток (гидродинамическая нагрузка) [1]. В технологиях, где электрический разряд выполняется непосредственно на обрабатываемый объект (снятие сварочных напряжений в сварных соединениях, очистка отливок и др.), основное воздействие на последний оказывает давление плазмы [1], а гидродинамическую нагрузку, как было показано в работах [2, 3], можно не учитывать.

Решения обратной гидродинамической задачи для первого случая – задачи восстановления кинематических и термодинамических характеристик канала разряда по заданной зависимости давления в жидкости от времени (гидродинамическая нагрузка на обрабатываемый объект) – для моноимпульсных и двухпульсационных зависимостей давления от времени в заданной точке жидкости приведены в статьях [4] и [5] соответственно.

Цель настоящей работы – построение математической модели для решения обратной гидродинамической задачи для электроразрядных технологий, использующих в качестве основной силовой нагрузки давление в канале разряда, и её тестирование, что актуально при разработке таких технологических процессов.

## ПОСТАНОВКА ЗАДАЧИ И СПОСОБ ЕЁ РЕШЕНИЯ

Отметим следующее. Измерение давления в ходе проведения эксперимента, тем более давления в плазменном канале, – процесс весьма трудоёмкий, то есть экспериментально определить нагрузку, создаваемую веществом в канале разряда на обрабатываемый объект, практически невозможно. Но можно путём фоторегистрации зафиксировать положение границы между плазмой и водой в различные моменты времени, то есть найти зависимость радиуса канала разряда от времени. Поэтому решаем обратную гидродинамическую задачу в следующей постановке.

Пусть восстанавливаемый канал разряда в течение всего рассматриваемого периода имеет форму прямого кругового цилиндра с непроницаемой поверхностью. Радиус его равен  $a(t)$ , а давление однородно во всём объёме цилиндра, в том числе и на его боковой поверхности – стенке канала разряда. Цилиндр расширяется в неограниченном объёме идеальной сжимаемой жидкости. Необходимо определить зависимости от времени скорости расширения цилиндра  $\dot{a}(t)$  и давления в нём  $P_a(t)$ , которые вместе с радиусом являются исходными данными для обратной электродинамической задачи [6].

Скорость расширения канала разряда вычисляем путём численного дифференцирования зависимости радиуса от времени.

Для определения давления решаем следующую задачу. В области жидкости, ограниченной расширяющейся с известной скоростью боковой поверхностью прямого кругового цилиндра (внутренняя граница расчётной области) и ударной волной (внешняя граница), необходимо решить записанную в цилиндрических координатах систему одномерных нелинейных уравнений газовой динамики [7]:

$$\begin{cases} \frac{\partial(r \cdot \rho)}{\partial t} + \frac{\partial(r \cdot \rho \cdot v)}{\partial r} = 0, \\ \frac{\partial(r \cdot \rho \cdot v)}{\partial t} + \frac{\partial[r \cdot (\rho \cdot v^2 + p)]}{\partial r} = p, \\ \frac{\partial(r \cdot e)}{\partial t} + \frac{\partial[r \cdot (e + p) \cdot v]}{\partial r} = 0, \end{cases} \quad (1)$$

которая замыкается уравнением состояния в двучленной форме [7]:

$$\varepsilon = [p - c_0^2(\rho - \rho_0)] / [\rho(\kappa - 1)], \quad (2)$$

где  $t$  – время;  $r$  – пространственная координата;  $v$  – величина скорости жидкости;  $p$  – давление;  $\rho$  – плотность жидкости;  $e = \rho[\varepsilon + v^2/2]$ ;  $\varepsilon$  – удельная внутренняя энергия;  $\rho_0$  – плотность покоящейся жидкости;  $c_0$  – скорость звука в покоящейся жидкости;  $\kappa = 7,15$ .

На внутренней границе расчётной области скорость жидкости равна скорости расширения цилиндра:

$$v = \dot{a}(t). \quad (3)$$

На внешней границе ставятся условия динамической совместности [7]:

$$\begin{cases} [\rho]D - [\rho v] = 0; \\ [\rho v]D - [\rho v^2 + p] = 0; \\ [\rho(\varepsilon + v^2/2)]D - [\rho v(\varepsilon + v^2/2) + pv] = 0, \end{cases} \quad (4)$$

где  $D$  – скорость ударной волны;  $[f] = f_1 - f_2$ ;  $f_1, f_2$  – значения функции слева и справа от ударной волны.

Начальные значения гидродинамических параметров равны своим значениям в невозмущенной среде.

Задача решается конечноразностным методом Годунова [7]. Используется подвижная сетка. Тестирование математической модели, алгоритма и компьютерной программы выполнено следующим образом.

Решаем задачу о расширении заполненной однородной плазмой цилиндрической полости в идеальной сжимаемой жидкости (в одномерном приближении). В этом случае движение жидкости описывается уравнениями (1)–(2). На внутренней границе расчётной области – контактном разрыве плазма-вода – требуется выполнение условия баланса энергии [8]:

$$\frac{1}{(\gamma-1)} \cdot \frac{d(P_a \cdot V_a)}{dt} + P_a \cdot \frac{dV_a}{dt} = N(t), \quad (5)$$

где  $P_a$  – давление в канале разряда;  $V_a$  – объём канала разряда;  $\gamma = 1,26$  – эффективный показатель адиабаты плазмы;  $N(t)$  – вводимая в канал разряда электрическая мощность.

На внешней границе (ударная волна) ставятся условия динамической совместности (4).

Задаваемый закон ввода электрической энергии в канал разряда (5) определён по экспериментально зарегистрированным функциям тока и напряжения при напряжении пробоя  $U_0 = 20$  кВ, индуктивности электрической цепи  $L = 3,4$  мкГн, ёмкости конденсаторной батареи  $C = 3$  мкФ и длине микропровода  $l = 0,1$  м. Кривая мощности приведена на рис. 1 (кривая 1).

В ходе решения этой задачи фиксируем с заданным шагом по времени радиус канала разряда, скорость расширения канала и давление в нём.

По полученному радиусу канала разряда вычисляем скорость его расширения в те же моменты времени. Эта скорость входит в граничное условие (3).

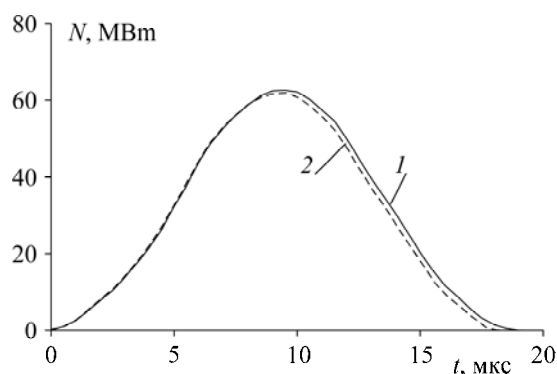


Рис. 1. Закон ввода электрической энергии в канал разряда: 1 – экспериментальные данные; 2 – данные, полученные при решении обратной электродинамической задачи

Далее решаем задачи (1)–(4). При этом шаг по времени определяется по критерию Куранта [7], поэтому расчётные моменты времени не совпадают с моментами времени задаваемой кривой скорости. Значение скорости расширения цилиндра на данном временном слое определяем путём линейной интерполяции заданной таблично функции скорости. При решении задачи фиксируем радиус цилиндра и давление в нём.

### РЕЗУЛЬТАТЫ РЕШЕНИЯ ЗАДАЧИ

На рис. 2–4 приведены результаты решения задач (1), (2), (5), (4) (сплошные кривые) и (1)–(4) (штриховые кривые) – радиус полости, скорость её расширения и величина давления в цилиндре. Как следует из рисунков, соответствующие кривые практически совпадают.

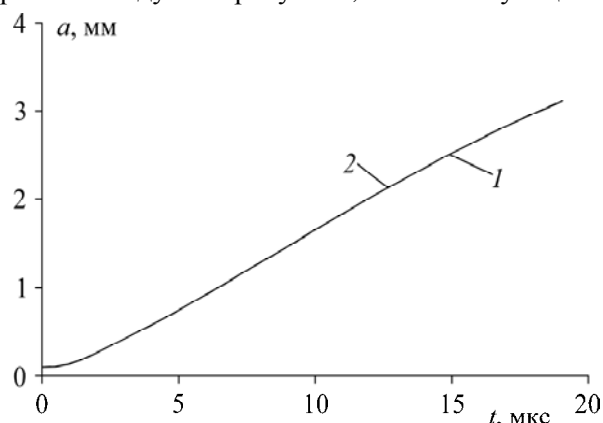


Рис. 2. Радиусы цилиндрической полости, полученные при задании на поверхности цилиндра уравнения баланса энергии (1) и при задании скорости (2)

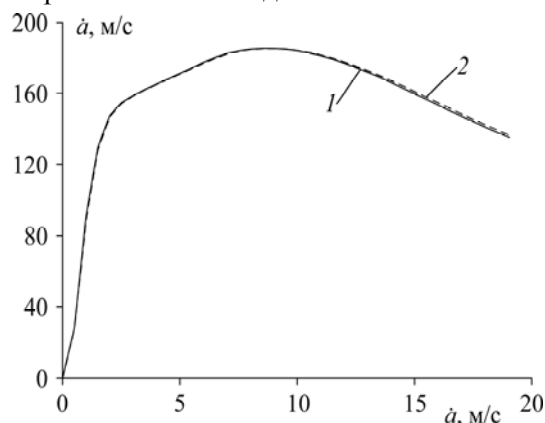


Рис. 3. Скорости расширения цилиндрической полости, полученные при задании на поверхности цилиндра уравнения баланса энергии (1) и при задании скорости (2)

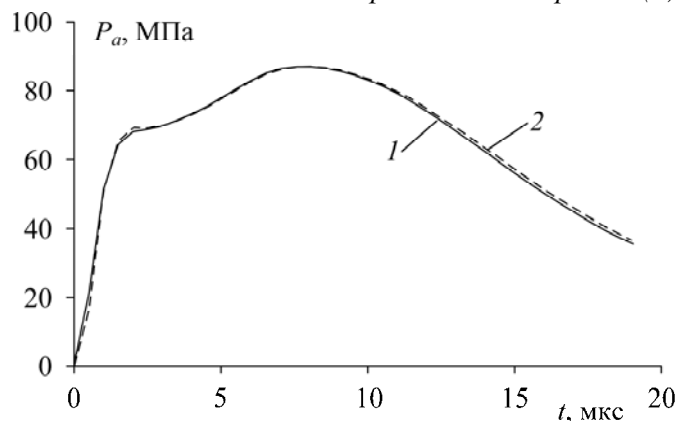


Рис. 4. Давления в цилиндрической полости, полученные при задании на поверхности цилиндра уравнения баланса энергии (1) и при задании скорости (2)

Восстановленный при решении обратной электродинамической задачи [6] закон ввода электрической мощности изображает кривая 2 на рис. 1. А на рис. 5 и 6 приведены временные зави-

симости тока и напряжения, полученные экспериментально (кривые 1) и при решении обратной электродинамической задачи (кривые 2). Амплитуды тока разнятся на 10%. Ещё меньше отличаются кривые напряжения.

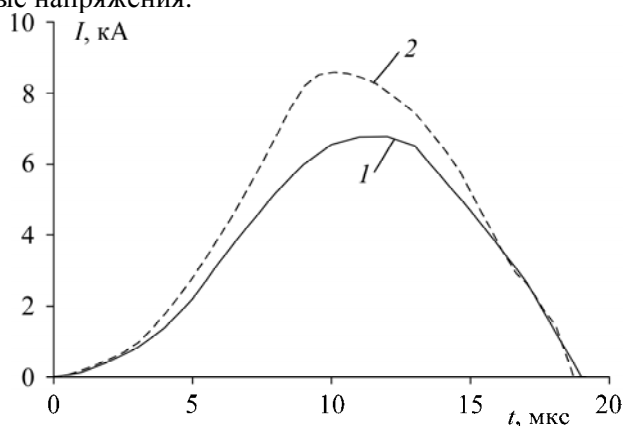


Рис. 5. Разрядный ток: 1 – экспериментальные данные; 2 – данные, полученные при решении обратной электродинамической задачи

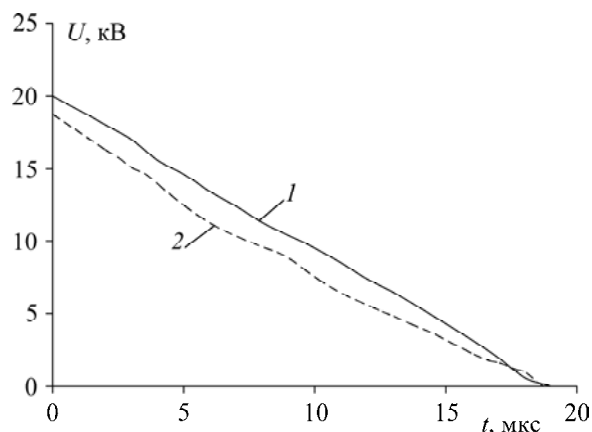


Рис. 6. Напряжение на канале разряда: 1 – экспериментальные данные; 2 – данные, полученные при решении обратной электродинамической задачи

Следует отметить, что расчётный радиус канала разряда был выбран для повышения точности тестирования. Но хорошее совпадение экспериментально определённого радиуса канала разряда и вычисленного при решении задач (1), (2), (5), (4) было получено неоднократно (например, в работе [9]). Для определения скорости по полученному в ходе фоторегистрации радиусу необходимо использовать метод регуляризации, поскольку вычисление производной по экспериментальным данным – задача некорректная [10].

Таким образом, построена математическая модель, позволяющая определить скорость расширения цилиндра и давление в нём по заданной зависимости радиуса цилиндра от времени.

Результаты тестирования доказали возможность использования этой модели для решения таких задач.

## ЛИТЕРАТУРА

1. Гулий Г.А. *Научные основы разрядноимпульсных технологий*. Киев: Наук. думка, 1990. 208 с.
2. Барбашова Г.А., Каменская Л.А. Влияние нагрузки, создаваемой каналом электрического разряда в воде, и гидродинамической нагрузки на напряженно-деформированное состояние сварного соединения. *Электронная обработка материалов*. 2007, **43**(3), 20–23.
3. Kamenskaya L.A. The Effect of the Components of a Complex Load Created by an Electric Discharge in Water on a Deflected Mode of Cast Iron Molds. *Surface Engineering and Applied Electrochemistry*. 2011, **47**(3), 248–252.
4. Барбашова Г.А. О восстановлении характеристик канала подводного искрового разряда по временной зависимости давления в жидкости. *Прикладна гідромеханіка*. 2007, **9**(4), 69–72.
5. Barbashova G.A. Restoration of the Characteristics of the Cavity Formed upon Explosion of a Microconductor According to the Specified Two Pulse Temperature Dependence of the Pressure at a Point in a Liquid. *Surface Engineering and Applied Electrochemistry*. 2010, **46**(1), 53–56.
6. Вовченко А.И., Шомко В.В., Шишов А.М. Математическое моделирование и оптимизация электрогидроимпульсных технологических процессов. *Технічна електродинаміка*. 2005, (3), 68–73.
7. *Численное решение многомерных задач газовой динамики*. Под ред. С.К.Годунова. М.: Наука, 1976. 400 с.
8. Наугольных К.А., Рой Н.А. *Электрические разряды в воде*. М., 1971. 155 с.
9. Барбашова Г.А., Косенков В.М. Определение гидродинамической нагрузки на стенку нефтяной скважины, формируемой электрическим разрядом. *Прикладная механика и техническая физика*. 2001, **42**(6), 93–97.
10. Тихонов А.Н., Арсенин В.Я. *Методы решения некорректных задач*. М.: Наука, 1986. 288 с.

Поступила 06.12.11

## Summary

A mathematical model for the determination of the speed of expansion and internal pressure of a cylindrical cavity by a specified time-dependent radius is offered. Testing of the proposed mathematical model, of the algorithm and computer program is carried out.